

ВСЕРОССИЙСКАЯ ШКОЛА МОЛОДЫХ УЧЕНЫХ «Системные исследования энергетических технологий» 25 - 26 ноября 2025, г. Москва, ИНЭИ РАН

Алгоритмы управления реактивной мощностью солнечных электростанций в изолированных энергосистемах и их роль в регулировании напряжения.

Аспирант кафедры ГВИЭ: Муджон Маклеан Муджон Научный руководитель: д.т.н. Илюшин П.В.

Введение и актуальность



Проблематика

- В изолированных энергосистемах Намибии наблюдаются частые отклонения напряжения (до ±10 %).
- Основная причина недостаточная компенсация реактивной мощности (Q) при переменной нагрузке.
- Дизель-генераторы не обеспечивают динамическое регулирование напряжения.
- Рост доли солнечных электростанций (СЭС) требует интеллектуального управления Q/U.

Научная актуальность

- Современные инверторы СЭС выполняют VAR-сервис (reactive power support service).
- VAR-сервис уменьшает колебания напряжения и снижает нагрузку на генераторы.
- Проблема актуальна для энергосистем развивающихся стран (Африка, Азия, Латинская Америка).

Цели и задачи исследования



Цель исследования

Разработка алгоритмов управления реактивной мощностью солнечных электростанций (СЭС), обеспечивающих стабилизацию напряжения в изолированных энергосистемах.

Задачи исследования:

- 1 □. Построить годовые и месячные графики *P* и *Q* на основе климатических и эксплуатационных данных региона Кунене.
- 2□. Оценить диапазоны соѕ ф для бытовых, коммерческих и промышленных потребителей.
- 3□. Исследовать возможности инверторов для анализа генерации и потребления реактивной мощности.
- 4□. Смоделировать распределение *Q/U* с учётом параметров узлов сети 20 кВ.

Методика исследования



Этапы алгоритма моделирования:

- 1□. Сбор данных солнечная радиация, угол наклона панелей, температура воздуха, профили нагрузки.
- 2□. Расчёт активной мощности: $P = P_{\text{ном}}$
- × f(радиация, температура).
- 3□. Определение реактивной мощности: $Q = P \times \tan(\arccos(\cos\phi))$.
- 4□. Валидация с реальными

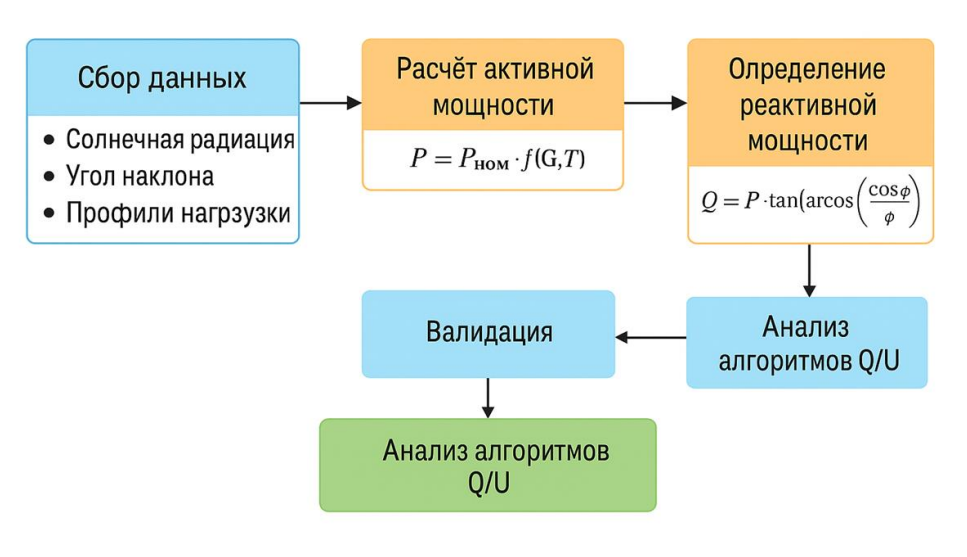


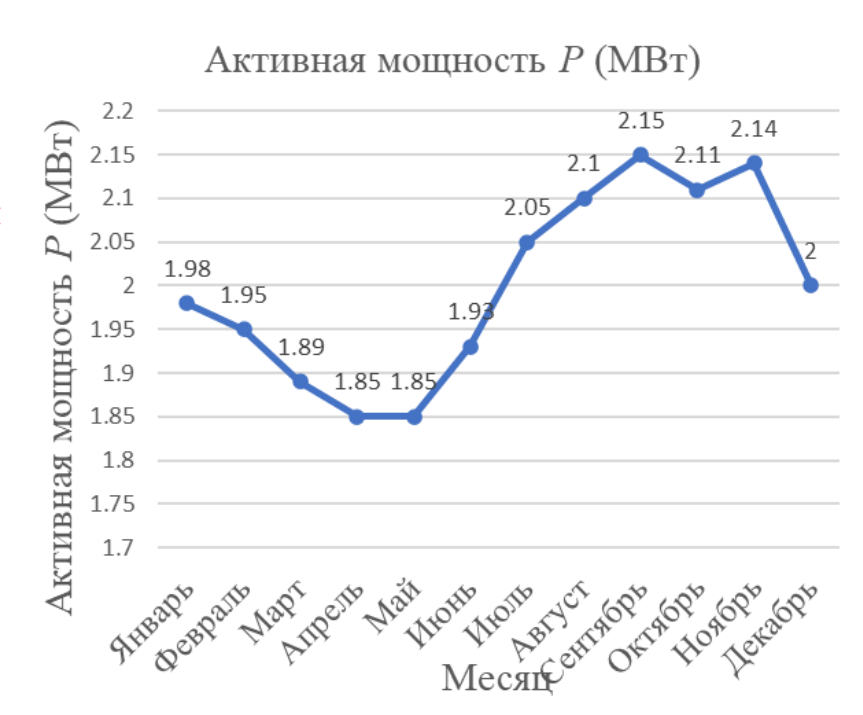
Рис. 1 — Блок-схема алгоритма моделирования потоков активной и реактивной мощности в изолированной знергосистеме.

Месячный профиль активной мощности *P* (МВт)



Анализ сезонных изменений активной мощности солнечной электростанции (СЭС):

- В зимние месяцы (апрель-июнь) наблюдается снижение выработки активной мощности до 1.85 МВт, что связано с уменьшением солнечной радиации и более низкими температурами.
- Летний максимум приходится на сентябрь (2.15 МВт), когда интенсивность солнечного излучения и продолжительность дня максимальны.
- Среднегодовая активная мощность составляет примерно 2.0 МВт, что соответствует стабильному уровню генерации для изолированной энергосистемы региона Кунене.



Реактивная мощность (Q) и коэффициент мощности (cos ф)

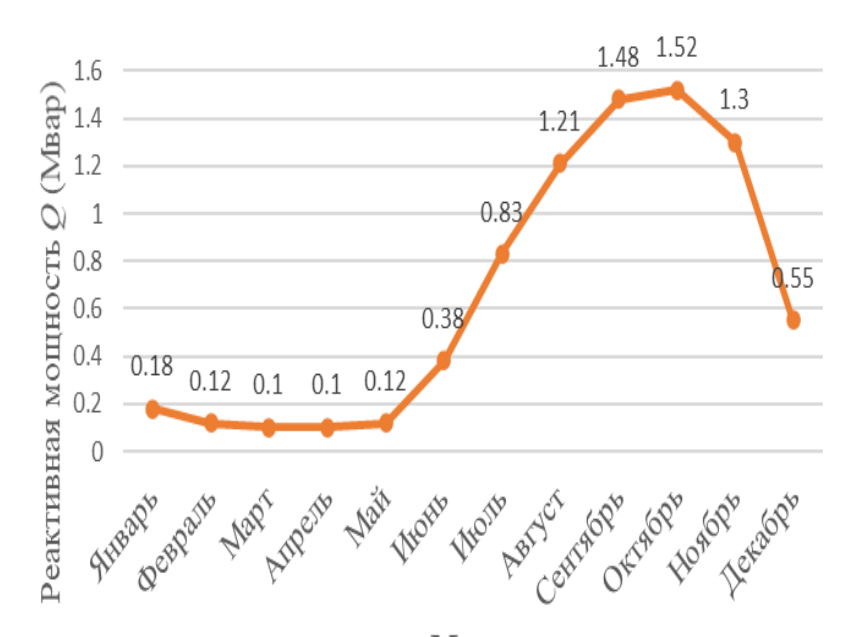


- ✓ Реактивная мощность Q определяет нагрузку на инверторы и влияет на стабильность напряжения.
- ✓ Максимальные значения Q (1.4-1.5 Мвар) – июль-октябрь; минимальные (<0.2 Мвар) – март-май.
- ✓ Для регулирования используется коэффициент мощности соз ф, различающийся по типам нагрузок.
 Формула расчёта:

$$Q = P \times tan(arccos(cos \phi))$$

Средние значения соз ф:

- Бытовая 0.85
- Коммерческая 0.82
- Промышленная 0.78



Месяц

Моделирование алгоритмов Q/U и VAR-сервиса



- 1. Алгоритм PI-регулятора классическая пропорционально-интегральная схема, обеспечивающая устойчивое, но медленное регулирование напряжения.
- 2. Fuzzy-логический контроллер основан на нечеткой логике и позволяет адаптировать управление при неопределённых нагрузках и флуктуациях солнечной радиации.
- 3. Нейросетевой подход (ANN) использует машинное обучение для предсказания оптимального реактивного тока инвертора и стабилизации напряжения при резких изменениях irradiance.

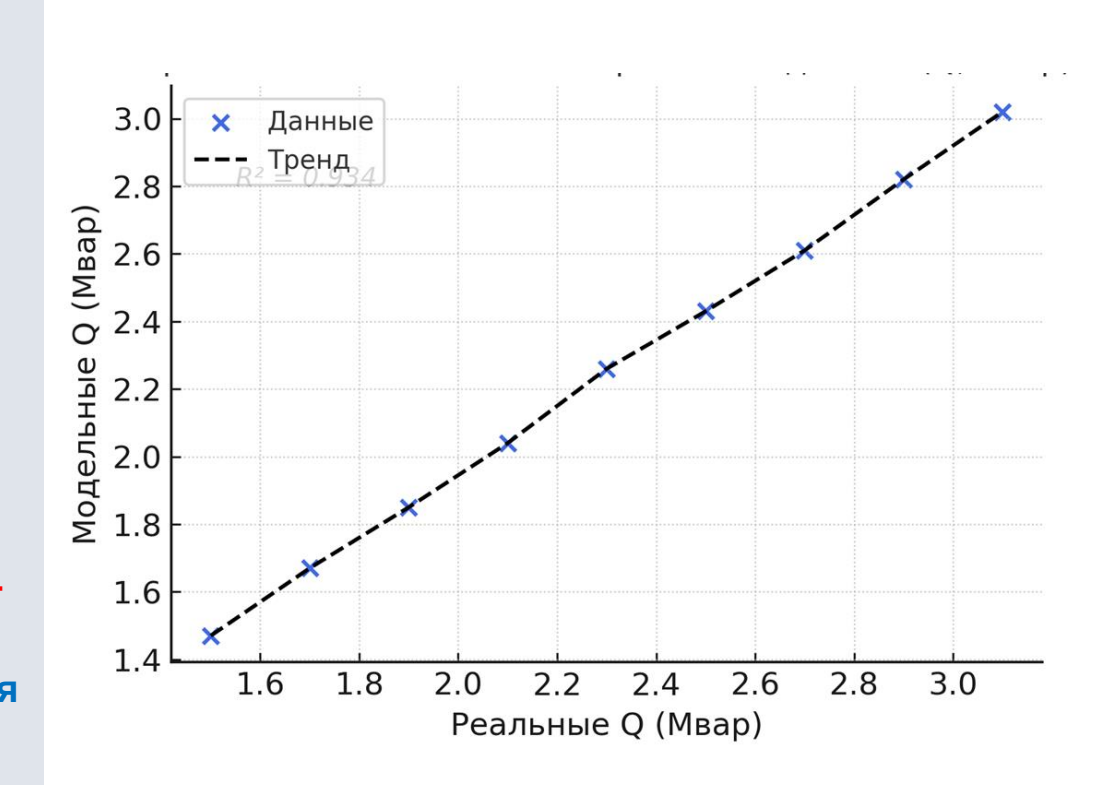
| Метод | Время стабилизации, с | Отклонение ΔU , % | cos φ |
|------------------|--------------------------|--------------------------|-------|
| РІ-регулятор | 4.5 | ±4.2 | 0.96 |
| Fuzzy-контроллер | 3.1 | ±2.8 | 0.98 |
| Нейросеть (ANN) | 2.4 | ±1.9 | 0.99 |

Сравнение синтетических и реальных данных (Q, Мвар)



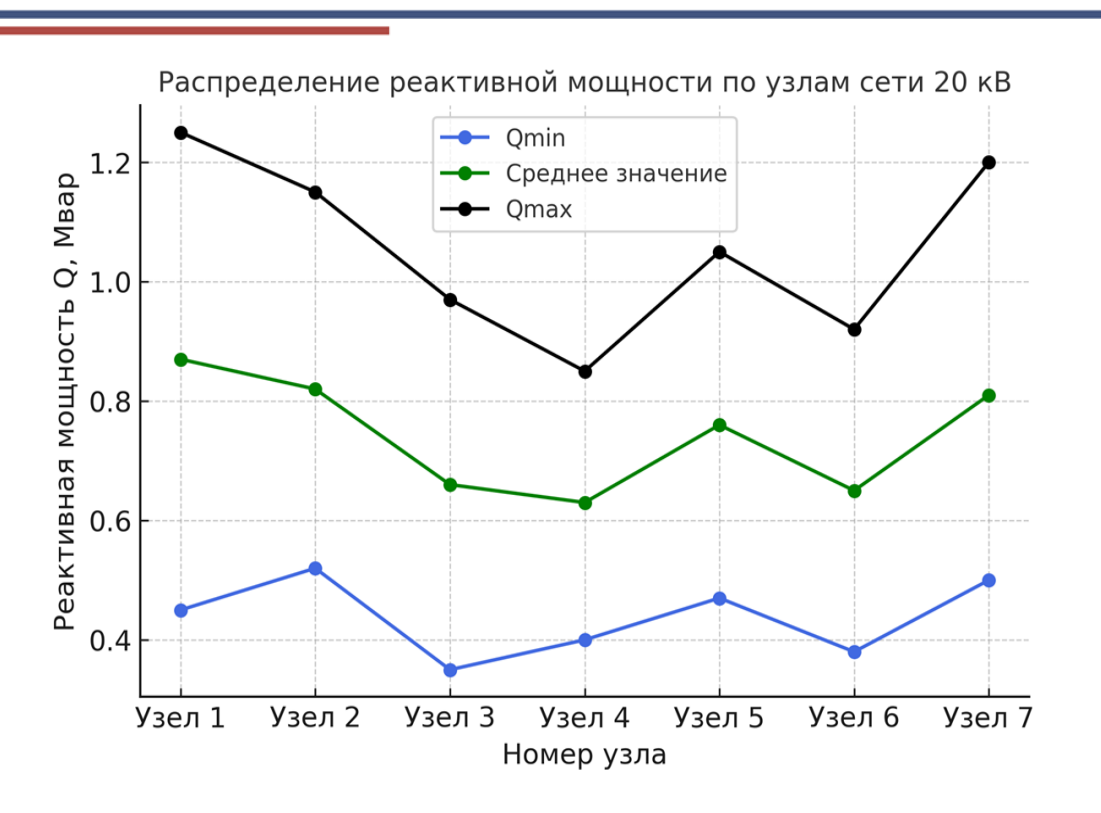
- Для оценки достоверности математической модели управления реактивной мощностью СЭС выполнено сравнение синтетических (модельных) и реальных измерений Q по узлам сети.
- Результаты показали высокую степень совпадения, что подтверждает адекватность разработанного алгоритма Q/U-регулирования.
 R² = 0.934 высокая корреляция между модельными и

измеренными значениями



Распределение реактивной мощности по узлам 20 кВ





Для анализа локальных особенностей распределения реактивной мощности проведено моделирование по узлам сети 20 кВ. Наибольшие значения Q наблюдаются в узлах с промышленными потребителями и точках подключения СЭС.

Максимальные пики Q приходятся на узлы 1, 2 и 7, где расположены промышленные объекты и солнечные электростанции. На бытовых узлах (4-5) наблюдаются минимальные значения Q (< 0.5 Мвар).

Выводы



- Основные выводы: Разработаны и протестированы алгоритмы управления реактивной мощностью (Q/U) для солнечных электростанций (СЭС) в изолированных энергосистемах.
- Показано, что применение инверторов с функцией VAR-сервиса позволяет стабилизировать напряжение в пределах $\pm 10~\%~U$ ном.
- Использование адаптивных (fuzzy) и нейросетевых алгоритмов обеспечивает сокращение времени стабилизации напряжения на 40-50 % по сравнению с классическим PI-регулятором.
- Проведённый анализ показал высокий уровень корреляции (R² = 0.934) между модельными и реальными значениями Q, что подтверждает точность разработанных моделей.

Применение интеллектуальных алгоритмов управления реактивной мощностью СЭС обеспечивает повышение устойчивости изолированных энергосистем, улучшает качество напряжения и снижает нагрузку на дизель-генераторные установки. Предложенные подходы создают основу для перехода к интеллектуальным микросетям (Smart Grids) в странах с развивающейся энергетической инфраструктурой.



Благодарю за внимание!